

香川県東部地域における光化学大気汚染について（第4報）

—総括編—

Photochemical Air Pollutants in the Eastern Part
of Kagawa Prefecture (IV)

— Total Analysis —

岩崎 幹男 木村 正樹* 山本 務
Mikio IWASAKI Masaki KIMURA Tsutomu YAMAMOTO
福山 由里 藤井 裕士 鈴木 恵美
Yuri FUKUYAMA Hiroshi FUJII Emi SUZUKI
三好 健治 細川 仁
Kenji MIYOSHI Shinobu HOSOKAWA

昭和58年から60年にかけて、本県東部地域で、大気汚染物質の濃度分布と高濃度現象について調査を実施して来た。この報告は3年間の結果を総合的に解析したものである。主な知見を以下に示す。

1. NO_xの濃度分布は、発生源の多い臨海部が最も高い値を示したが、島しょ部、島しょ部上空及び臨海部上空は比較的濃度が高く、船舶等の寄与が考えられた。讃岐山脈の付近は検出限界に近い値であった。
2. O_xの濃度分布は内陸部になるほど高濃度になった。島しょ部もO_x濃度は高い地域であるが、小豆島は特に高く、播磨灘からの輸送も十分検討する必要があるものと思われた。
3. O_x濃度分布を4つの型に分類し、O_xに関する気象状態とNO_xから、それぞれの型の出現状況を解析した。その結果、地上風や上層風の輸送規模をある程度分類出来た。O_xの高濃度出現日は大気汚染物質の輸送スケールや大気汚染物質の蓄積が重要な要因となることがわかった。

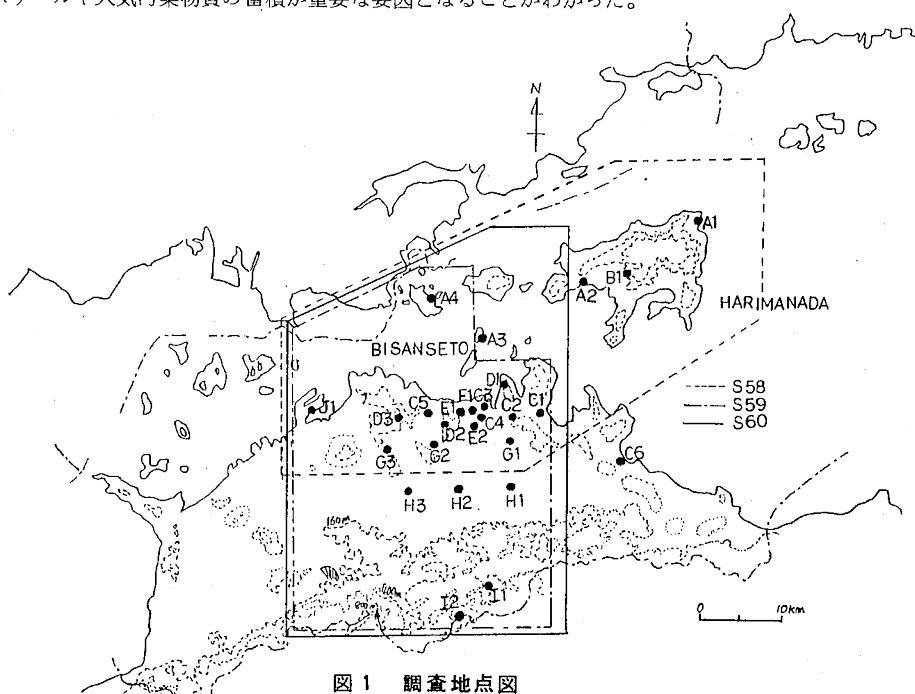


図1 調査地点図

* 公害課へ転出

はじめに

本県東部地域の大気汚染常時監視局は高松市の臨海地区と岡山県境の直島町に設置しているが、他の地域ではなく、全地域的な大気汚染物質や気象についての資料が不足している。これらを補足するために、昭和58年度から3年計画で、瀬戸内海の島しょ部から讃岐山脈に至る全地域で特別観測局を設置して、O_x、NO_xの分布状況や局地風を把握すると共にO_x高濃度現象についての解析も行ってきた。^{1) 2)} 今年度の調査については、図1のエリアで実施し、同時に福山等が、この所報で結果を報告している。

ここでは、3年間のデータを関連づけ、本県東部地域における大気汚染物質の立体分布構造や、O_x汚染規模を分類し、それらの出現機構について検討したので、その結果を報告する。

調査方法

1. 調査期間

昭和58年5月23日～26日、8月29日～9月1日

昭和59年5月21日～24日、8月28日～30日

昭和60年5月21日～23日、8月26日～29日

の計22日間で行った。

2. 調査地点

図1に示す。昭和58年度は点線、59年度は一点破線、60年度は実線のエリアで実施した。調査地点名を表1に各年度ごとに調査した地点記号を表2に示した。

解析しやすいように、各観測地点を9つのグループに地域分けを行ない、表3に示した。

表1 調査地点名

地点記号	地点名	地点記号	地点名
A 1	福 田	D 3	五 色 台
A 2	土 庄 保 健 所	E 1	・高 松 市 役 所
A 3	男 木 中 学 校	E 2	・栗 林 公 園
A 4	・直 島 町 役 場	F 1	百 十 四 ビ ル
B 1	小 豆 島 ヴ イ ラ	G 1	川 添 小 学 校
C 1	牟 礼 町 役 場	G 2	檀 紙 小 学 校
C 2	・東 消 防 署	G 3	国 分 寺 青 年 セン タ ー
C 3	・競 輪 場	H 1	氷 上 小 学 校
C 4	公 害 研 究 セン タ ー	H 2	香 川 第 一 中 学 校
C 5	・勝 貢 中 学 校	H 3	昭 和 小 学 校
C 6	大 川 合 同 庁 舎	I 1	塩 江
D 1	屋 島 山 上	I 2	竜 王 山
D 2	峰 山	J 1	電

注) ○印はテレメータによる常時監視局

表2 各年度毎の観測地点一覧

年 度	地點 記号	観 测 項 目					備 考
		NO _x	O _x	W	上層 風	上空 温度	
58	A 1	○	○	○			
	A 2	○	○	○	○	○	
	A 3	○	*○	○			
	A 4	○	○	○			
	B 1	○*	*○	○			
	C 1	○	○	○			
	C 2	○	○	○			
	C 3	○	○	○			
	C 4	○	○	○			
	C 5	○	○	○			
	D 2	○	○	○			
	E 1	○	○	○			
	E 2	○	○	○			
	F 1	○*	*○	○			
59	A 4	○	○	○			
	C 2	○	○	○			
	C 3	○	○	○			
	C 4	○	○	○			
	C 5	○	○	○			
	E 1	○	○	○			
	E 2	○	○	○			
	F 1	○*	*○	○			
	G 1	○	○	○			
	G 2	○	○	○			
	H 1	○	*○	○			
	H 2	○	○	○			
	H 3	○*	*○	○			
	I 1	○	○	○			
60	A 3	○	*○	○			
	A 4	○	○	○			
	C 2	○	○	○			
	C 3	○	○	○			
	C 4	○	○	○			
	C 5	○	○	○			
	C 6	○	○	○			
	D 1	○	○	○			
	D 3	○	○	○			
	E 1	○	○	○			
	E 2	○	○	○			
	F 1	○	*○	○			
	H 2	○	○	○			
	I 2	○*	*○	○			

注) NO_xの*はケミルミネッセンス法

O_xの*は紫外線吸収法

3. 調査項目

表2に示すように、NO、NO₂、O_x、エアロゾル、地上風、上層風、上空気温の7項目について調査した。エアロゾルについては、昭和58年度と59年度に調査し、59年度の所報に一括して報告したので、今回は割愛した。

4. 観測方法

NO_x：ザルツマン方式自動測定機

ケミルミネッセンス方式自動測定機

O_x：中性ヨウ化カリを用いた比色方式自動測定機

紫外線吸収方式自動測定機

地上風：風車式自動測定機

上層風：パイロットバルーン
上空温度：低層ラジオゾンデ

表 3 地域区分一覧

地域記号	地域名	地 域 の 特 徴
A	島しょ部	備讃瀬戸、播磨灘の汚染状況を把握するため、小豆島、男木島、直島に観測局を設けた。
B	島しょ部上空	小豆島周辺の上空汚染を調査するために、標高 500 m の山頂に設置した。
C	臨海部	海岸から 3 km 以内の地域で、工場や主要幹線道路が集中しており、大気汚染が最も進行している地域である。
D	臨海部上空	臨海部の上空汚染を調査するために標高 200 ~ 300 m の小高い山で調査した。
E	自排局	幹線道路の側近で設置した自動車排气ガス測定局。
F	自排局上空	市街地の上空汚染状況を調査するため、自排局に隣接している高さ 60 m のビルに設置した。
G	内陸部 1	海岸より 4 ~ 8 km の地域で、比較的車の量も多い住居地域。
H	内陸部 2	海岸より 9 ~ 15 km の地域で、移動発生源の影響が少ない田園地域。
I	山岳部	内陸部の上空汚染を調査するために、讃岐山脈の中腹（標高 300 m）や山頂（標高 1,000 m）に設置した。人為活動の少ない地域で、本県のはばパックグラウンド地と考えられる。

結果及び考察

1. 大気汚染物質の濃度分布 (NO, NO₂, O_x)

3 年間の観測値に関連性を持たせるために、臨海部のデータを基準にし、各年度ごとに他地域との比率を求め、図 2 に示した。NO, NO₂は日平均値を、O_xは日最高値の平均値を用いた。図 3, 4 は各観測地点における NO, NO₂ の日平均値の最高、最低、平均値を、図 5 には O_x の日最高値の最高、最低、平均値を示した。

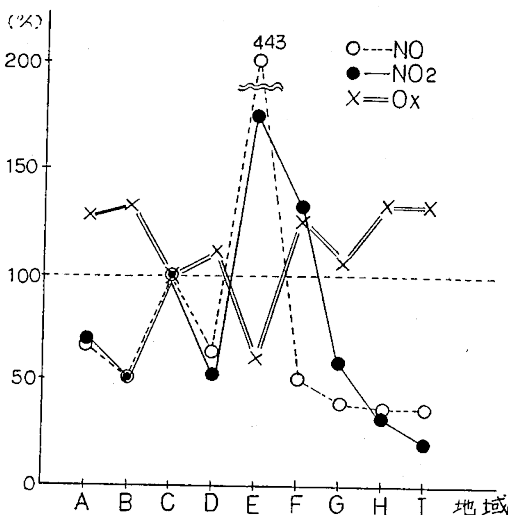


図 2 NO, NO₂, O_x の地域別濃度分布比率

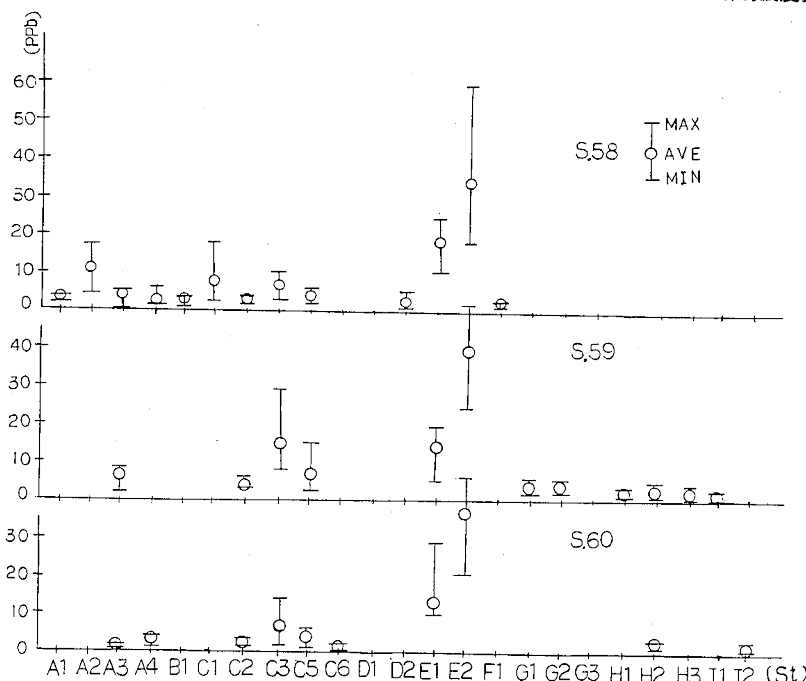


図 3 NO 日平均値の最高、最低、平均値

1-1 NOの濃度分布

図2に示すように、地域別の濃度分布を高い順に並べると、 $E > C > (A, B, D, F) > (G, H, I)$ になるが、図3に示すように、E, Cを除く他の地域の日平均値は約5ppb以下であり、ほぼ同程度と考えられる。観測局を個々に検討すると、一般環境大気局では、島しょ部のA2や臨海部の観測局では日変動が激しく、近傍の移動発生源の影響が大きいものと思われる。山岳部の値はほぼ本県のバックグラウンド値であるものと考えられる。

1-2 NO₂の濃度分布

濃度分布を地域別にランク分けすると、 $E > F > C > (A, B, D, G) > (H, I)$ になる。NOと異なるところは自排局の上空60mではNOが臨海部よりも低い値を示しているが、NO₂は逆に高くなり、地上から鉛直輸送される間に、NOが光化学反応によりNO₂に変換されていることが分かる。内陸部のGもNOよりもNO₂の方が占める割合が高く、Hとの汚染形態の違いが多少見られる。図4に示すように、濃度変動は臨海部から山岳部に近づくにつれて減少する。島しょ部は臨海部と同様に変動は大きく、自動車や船舶からの影響がかなりあるものと考えられる。島しょ部、臨海部、山岳部の上空を比較すると、島しょ部の上空は臨海部上空とほぼ均一化しており、瀬戸内海上空は山岳部と比較するとかなり汚染されていることがわかった。

1-3 Oxの濃度分布

図2に示すように、Oxの高濃度地域は、A, B, F, H, Iであり、NOが高濃度であるEは濃度が低く、C, Gも大気の安定状態によっては一次汚染物質の影響によりOx濃度は制限されているものと考えられる。したがって、図5に示すように、臨海部のOx濃度は観測局によってバラツキが大きい。島しょ部の(A1, A2)と(A3, A4)にもOx汚染形態は多少違があり、昭和58年度の調査で報告したように¹⁾、(A1, A2)は播磨灘からの寄与を十分考慮に入れる必要があるものと思われる³⁾。一方、H, Iの濃度変動は少なく、この地域のOx濃度はほぼ均一化されており、東部地域におけるOx濃度の指標になりうるものと考えられる。山岳部のOx濃度は夜間に最高値を示し、滞留している。臨海部との上昇時ににおけるタイムラグは、2~3時間で中譲地域における調査結果⁴⁾とほぼ一致した。

2. Ox濃度の分布型による解析

3年間で調査した観測日(21日間)をOx濃度の分布状態別に分類し、その汚染機構について解析した。分類方法としては、主として広域性と濃度の高低を基準にし、表4に示す4つの型に分けた。但し、58年9月1日は日中に降雨があったため除外し、表3の地域の内、自排局は対象外とした。気圧配置型と上層風の飛跡については日本気象協会が採用している⁵⁾図6, 7に基づいた。

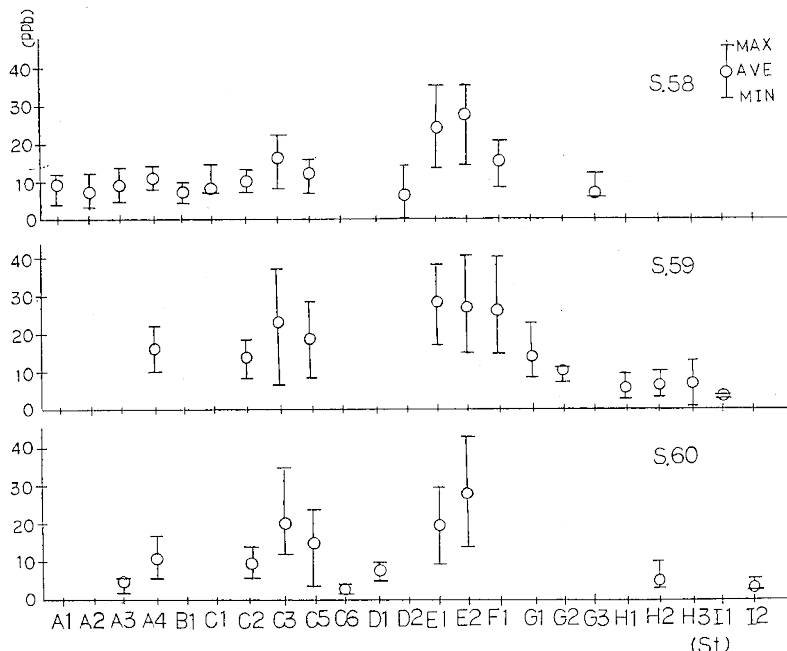


図4 NO₂日平均値の最高、最低、平均値

表 4 O_x濃度の分布型分類表

型	分類の基準	該当年月日
I (高濃度型)	観測した全ての地域で60ppbを超える、しかも100ppb以上の地域が2つ以上存在する。	58年5月24日
		60年8月26日
		60年8月28日
II (やや高濃度型)	観測した全ての地域で60ppbを超える、しかも80ppb以上の地域が存在する。	58年5月23日
		59年5月21日
		59年5月22日
		59年5月23日
III (中濃度型)	5地域以上で60ppbを超えたとき。	58年5月29日
		58年5月26日
		58年8月31日
		59年5月24日
		59年8月29日
		60年5月21日
		60年5月22日
		60年5月23日
IV (低濃度型)	4地域以下で60ppbを超えたとき。	60年8月29日
		58年8月30日
		59年8月28日
		59年8月30日
		60年8月27日

2-1 I型 該当日数-3

天気図型 H₃, H₄, T

この高濃度型の内、2日は光化学反応主体型であり、1日は移流主体型であった。本県では前者の事例が多い。

まず前者であるが、地上風は海陸風の循環があり、図8に示すように、吹走時間は少なくとも9~15時であり、最高は18時まで観測された。海風前線は14時頃に内陸部2の地域まで侵入しており、15時以降の内陸部2は1m/s

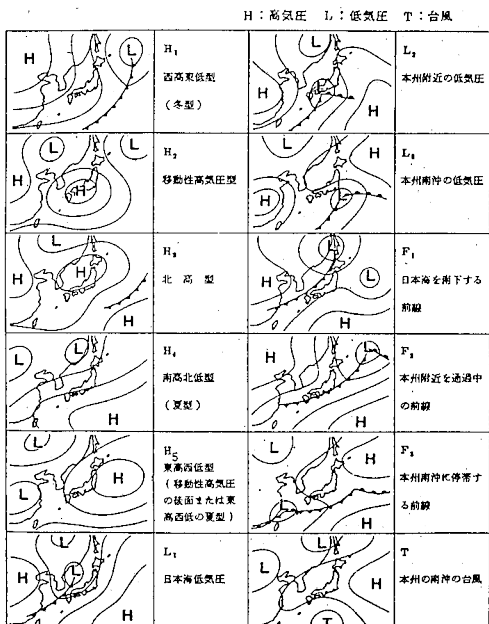


図 6 12種の天気図モデル

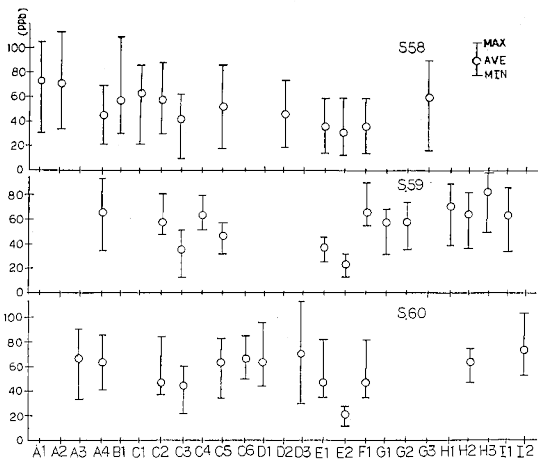


図 5 O_x日最高値の最高, 最低, 平均値

型番	型	風向範囲	説明
風向がほぼ一定のもの	1	N~E	下層から上層まで、風向範囲で示したほぼ一様な風向が卓越するもの。
	2	E~S	
	3	S~W	
	4	W~N	
	5	SSE~SSW	
風向が変化しているもの	6	S→N	下層は南寄り、上層は北寄りの風向。時計まわり(又は反時計まわり)
	7	N→S	下層は北寄り、上層は南寄りの風向。時計まわり(又は反時計まわり)
	8	E→W	下層は東寄り、上層は西寄りの風向。時計まわり(又は反時計まわり)
	9	W→E	下層は西寄り、上層は東寄りの風向。時計まわり(又は反時計まわり)
	10	3層以上の変化	3層以上にわたって風向が変化しているもの。

図 7 飛跡型分類

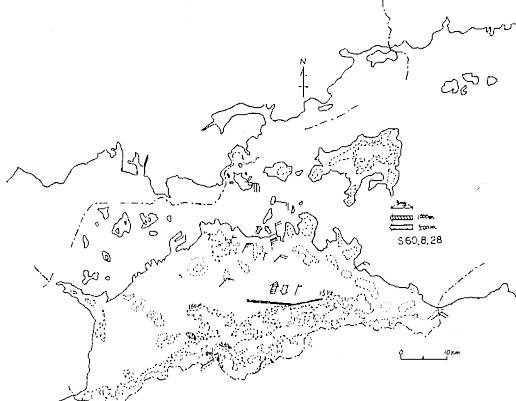


図 8 O_x I型の地上風と上層風

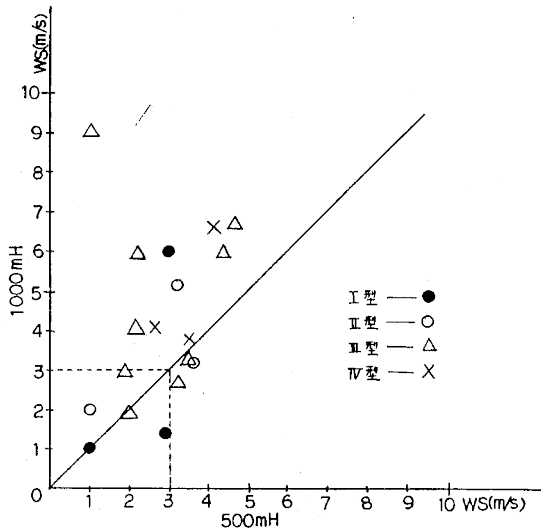


図9 9時の上層風速とOX濃度分布型の関係

前後の弱風となる。日射量は20 MJ/m²以下で、むしろ低濃度型の日よりも低い値を示している。上層風の風系は図7に示す飛跡分類では4, 10である。上層風の風速は図9に示すように、500 mと1,000 mの差があまりなく、3 m/s以下の弱風型が高濃度の条件になるものと考えられる。なお、上層風の風速で高度500 mと1,000 mを用いた理由は、前者は境界層上部の局地風の代表であるものと考えられ、後者はほぼ地衡風に近いものと考えられるからである。

以上のことから、本県の発生源規模は大都市と比較すると小さるために⁶⁾、光化学反応主体型の高濃度出現には、地上風や上層風の状態が大きな要素になるものと考えられる。

次に移流による高濃度型は昭和58年5月24日である。9時の上層風はI型で、反流はなく、上空600 mまでが約3 m/sで、1,000 mを超えると5 m/s以上の強風が観測された。午後になると地表付近にまで一般風の影響が見られ、Eの5 m/s以上の卓越風が吹走した。この日の早朝には、6.5 mmの降雨があり、OXの高濃度気象条件としては悪いにもかかわらず、本県では中譲地域も含めて、ほとんどの観測局で80 ppb以上の値を記録している。この高濃度現象は大気の安定状態から推測すると、上空のオゾン層からの移流によるものと考えられる。この様な事例は全国的に報告されているが^{7), 8)}、本県ではほとんど観測されておらず、このような日は、拡散規模が大きくとも、高濃度が出現する。

2-2 II型 該当日数-4

天気図型、H₃-3 なし-1

OX濃度分布の特徴としては、臨海部、内陸部1の1

次汚染物質の高い地域で低く、島しょ部、内陸部2、山岳部の発生源の少ない地域で、80 ppb以上の値を示す傾向が見られた。

地上風では海陸風の循環は有り、海風の吹走時間はI型と変わらず、最高時刻は21時であった。海風前線は10 kmまでで、I型と比較すると侵入域はやや短かく、輸送の規模が小さいようと思われた。

上層風の飛跡型は(8型-2, 4型-1, なし-1)で1層型である。図11に示すように地上風と同様にI型よりも、やや不安定であった。地形的にも、瀬戸内上空には東西流が発生しやすく⁹⁾、備讃瀬戸の臨海部では風速が速められるが、地表付近では海風が発生しており、これらの風系は瀬戸内に発生する局地的な規模と思われ、OX濃度は比較的高くなつたものと考えられる。

2-3 III型 該当日数-9

天気図型 H₃-3, H₄-2, H₂-1, L₁-1, F₃-1, T-1

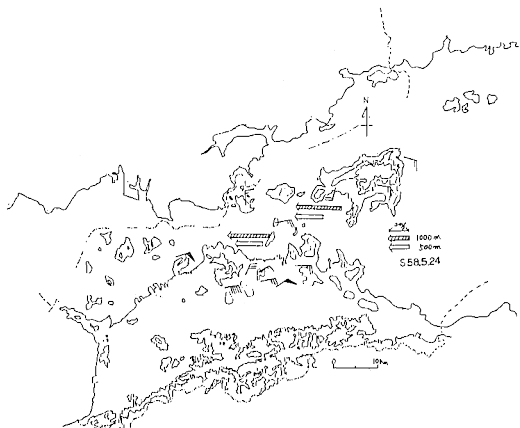


図10 OX I型の地上風と上層風(移流型)

海陸風の交替が有った日は4日間で、無かった日は5日間と、まちまちであった。図12に示すように、交替が有った日の海風の吹走時間は15時までで、海風前線の位置は沿岸より5 km程度であった。

上層風は500 m以下の高度で1~3 m/sの弱風であったが、1,000 m以上になると5 m/s以上の強風となり、午後からは一般風は地表付近まで支配した。上層風の飛跡は3型が2日、4型が2日となっており、ほとんどが一層である。前日のOX濃度はIV型の低濃度であり、大気汚染物質の蓄積が少ないことも考えられるが上層の拡散規模はII型と比較すると、大きかったものと考えられる。海陸風の交替が無かった日の上層風の飛跡は、I型が2日、II型が2日、4型が1日で、すべて1層であり、一般風が地表付近にまで影響する卓越風であり、スケールとしては比較的大きなものであったと思われる。

まとめ

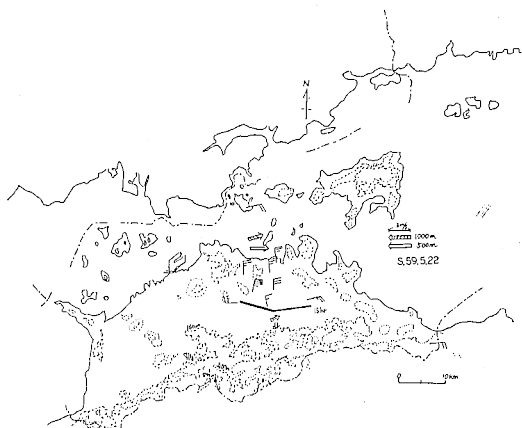


図11 Ox II型の地上風と上層風

2-4 N型 該当日数-5

天気図型 H₄-3, T-1, その他-1

海陸風の交替の有った日は1日で、海風の吹走時間は4時間、侵入域は5kmであった。この日のパイボールによる上層風の観測はなかったが、四電の上空200mの風速の日平均値は5.8m/s、日最高値は9.1m/sで、同風向はSとなっており、これから推測すると、上空では一般風が卓越していたものと考えられる。この日の拡散規模はⅢ類と類似しているものと思われる。海陸風の交替の無かった日の上層風の飛跡はすべて4型である。風速は3~5m/sであるが、夜間にまで継続して吹走する、拡散スケールの大きな風系である。

2-5 他の大気汚染物質との関係

Oxの生成に関連性のあるNO_xとNMHCについて検討した。自排局のE1でNO_xとNMHCの関係について検討した。

図13にNO、NO₂の6~9時の3時間平均値とOx濃度分布を比較した。NO₂のNO_xに対する割合が50%以下になるとOx濃度は低くなり、Ox濃度分布はNOよりもNO₂と対応しているものと考えられる。

NMHCについては、6~9時の3時間平均値とOx濃度と関係があると言われている3時の値で、検討した。図14に示すように、NMHCの3時間平均値と3時の値は比較的よい相関を示すが、Ox濃度分布とはよい結果が得られなかった。東部地域にはE1以外に観測局はないので、検討出来なかつたが、NMHCに関しては、内陸部の非汚染地域の検討が必要であろうと思われる。

1. NOは移動発生源の影響が大きい臨海部で高く、日変化も激しい。他の地域では島しょ部の一部を除くと低い値を示し、数 ppb であった。

2. NO₂は、臨海部から山岳部に近づくにつれて低くなる。島しょ部も内陸部の住居地域と同等の濃度であり、船舶や自動車排ガスの影響が見られた。島しょ部と臨海部の上空300~500mでも日平均値が10 ppb を越える日もあり、鉛直方向へもNO₂は輸送されていることがわかった。自排局上空60mのNO₂濃度は、臨海部の地上局よりも高く、市街地の上空はかなり汚染されているものと思われる。

3. Oxの地域別濃度分布はNOと逆の傾向が有り、臨海部やその周辺ではやや低い値を示し、一次汚染物質の少ない地域は高濃度であることが分った。島しょ部でも小豆島は高く、播磨灘からの輸送が考えられた。

4. Ox濃度と地域分布を4つの型に分類し各々の型の特徴を解析した。その結果、本県の東部地域は関東等と比

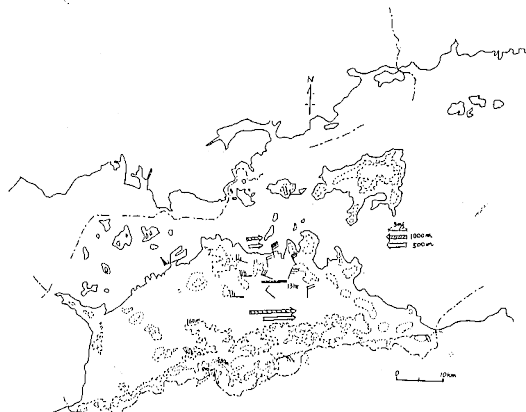


図12 Ox III型の地上風と上層風

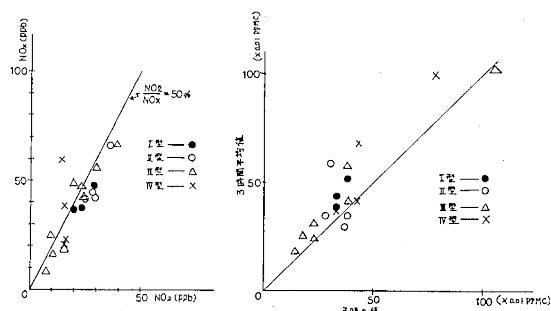


図13 NO_xとOx濃度分布型の関係

図14 NMHCとOx濃度分布型の関係

較すると、発生源の規模や大気汚染物質を輸送する海風の層が薄いため、地上風や上層風の輸送規模や、前日からの大気汚染物質の蓄積量が重要なポイントになることが考えられた。

5. 大気汚染物質とO_x濃度分布との関係はNO₂が比較的よい相関を示した。

終りに、この調査研究を実施するに際し、全面的なご協力を頂いた高松市公害課の方々、ならびに、特別観測局を設置するに当たり、快くご便宜を頂いた次の関係方々には心から感謝致します。

関係協力機関(順不同)：高松市水道局、牟礼町役場、男木中学校、香川第一中学校、川添小学校、檀紙小学校、水上小学校、昭和小学校、NTT統制無線中継局、百十ビル、松本建設、小豆島ヴィラ、望海荘、川崎重工業健康保険組合、高松保健所、土庄保健所、大川事務所

文 献

- 木村正樹、岩崎幹男、山本 務、他：香川県公害研究センター所報、8, 61(1983)
- 岩崎幹男、山本 勿、木村正樹、他：香川県公害研究センター所報、9, 53(1984)
- 水野建樹、吉門 洋、近藤裕昭、他：公害資源研究所報告、30, 35(1984)
- 岩崎幹男、中野 智、山本 勿、他：香川県公害研究センター所報、7, 103(1982)
- 日本気象協会：環境庁委託業務結果報告書、3(1978)
- 環境庁：環境白書、7(1985)
- 村尾直人、大喜多敏一、太田幸雄：天氣、29, 63(1981)
- 渕 義明、山口道雄、山口恭三：長崎県衛生公害研究所報、23, 9(1981)
- 応用気象研究部：気象研究所技術報告、11, 45(1984)

表5 調査期間中の気象状況(1)

年	月	日	O _x 濃度分布型	最 大 速 (m/s)	同風向	最 気 温 (°C)	平 気 温 (°C)	均 温 (%)	日射量 (MJ/m ²)	日 照 時 (hr)	降水量 (mm)	四電 195 m の 風		
												最 大 速 (m/s)	同 風 向	平 均 速 (m/s)
58	5	23	I	5.2	ENE	26.3	22.3	66	20.0	8.5	0.0	6.8	NNE	4.3
		24	I	6.1	ENE	25.4	20.5	79	19.7	8.9	7.5	7.3	S	5.4
		25	III	6.4	N	25.5	19.1	63	23.3	10.5	1.0	8.8	NE	5.1
		26	III	3.9	N	22.7	16.8	52	26.2	12.7	—	5.2	W	2.4
59	8	29	N	5.8	W	34.9	29.1	68	18.2	9.3	—	9.1	S	5.8
		30	N	5.0	W	35.1	29.5	65	20.5	11.0	—	6.9	SW	5.2
		31	III	4.2	SSE	34.4	28.8	65	17.6	8.0	0.0	7.3	SSW	4
	9	1	日中降雨対照外	4.3	SE	30.2	26.6	81	10.6	3.9	18.5	7.9	SW	2.4
60	5	21	I	3.4	ESE	24.5	18.1	61	24.1	11.3	0.0	6.1	E	2.5
		22	I	3.6	N	23.8	18.3	61	21.1	9.1	—	6.5	NE	1.5
		23	I	4.4	NNW	26.7	19.3	57	23.9	11.9	—	6.0	SW	3.3
	8	24	III	4.3	NNW	26.9	19.5	56	22.9	11.3	—	4.9	SW	2.6
		28	N	4.6	SW	35.5	30.1	68	18.1	9.2	—	7.4	SW	4.1
		29	III	3.8	WNW	35.2	28.8	66	19.4	10.8	—	6.6	SSW	3.1
		30	N	4.7	W	34.9	29.3	65	20.2	10.9	—	6.6	SSW	4.7
60	5	21	III	7.0	W	25.4	20.1	64	22.6	10.4	—	10.6	SW	7.3
		22	III	4.9	W	22.9	17.9	63	16.8	9.1	—	6.7	ENE	3.3
		23	III	4.1	ENE	23.5	19.2	74	27.6	11.8	—	6.4	E	3.3
	8	26	I	3.4	N	32.6	26.9	77	19.1	11.3	0.0	6.5	SSW	4.1
		27	N	3.9	N	34.7	28.2	66	16.7	11.3	0.0	8.1	SSW	5.4
		28	I	3.9	N	32.8	28.0	74	17.5	11.2	0.0	3.7	SW	1.7
		29	III	6.1	ENE	33.4	28.4	75	21.6	11.1	0.0	10.1	NE	4.9

表6 調査期間中の気象状況(2)

年	月	日	Ox濃度分布型	天気図型	海陸風の交代	海風の吹走時間(hr)	海風前線の最大位置と時間		9時高松市上層風の飛跡型	同高度500mの風向風速		同高度1,000mの風向風速		同高度1,000mの風向風速		最大混合層高度(m)	逆転層の有無
							(km)	(hr)		WD	WS(m/s)	WD	WS(m/s)	500m(C)	1,000m(C)		
58		23	II	東シナ海にL発生	無	—	—	—	—	—	—	—	—	—	—	—	
		24	I	H ₃	無	—	—	—	1	ESE	3.0	ESE	6.0	17.0	15.0	400	無
	5	25	III	F ₃	有	9~15	5	15	3	SE	1.0	ENE	9.0	17.4	13.5	300	有
		26	III	H ₃	無	—	—	—	4	WSW	2.0	S	2.0	10.7	7.5	1,200	有
		29	N	H ₄	有	11~15	5	15	—	—	—	—	—	—	—	—	—
	8	30	N	H ₄	無	—	—	—	4	WSW	2.3	W	4.0	25.4	20.7	1,200	有
		31	III	H ₄	有	9~15	5	15	4	NW	2.2	NW	6.0	25.3	20.9	1,250	有
	9	1		H ₄	有	10~16	5	16	10	—	—	—	—	23.2	19.7	—	有
		21	II	H ₃	有	9~11	5	11	8	W	3.2	NNE	5.2	—	—	—	—
59		22	II	H ₃	有	9~21	10	16	8	ENE	1.0	WNW	2.0	14.0	10.0	1,750	無
	5	23	II	H ₃	有	7~20	5	14	4	WSW	3.6	WSW	3.2	15.4	11.7	1,800	無
		24	III	H ₃	有	9~19	10	14	4	WSW	1.9	—	—	16.8	12.6	1,400	有
		28	N	日本海と九州西岸に小さなH現れる	無	—	—	—	4	W	4.1	NNW	6.6	24.2	19.7	1,100	無
	8	29	III	H ₄	有	10~12	5	12	10	SE	2.2	WNW	4.2	25.0	20.8	950	有
60		30	N	H ₄	有	9~13	2	13	4	WSW	2.6	WNW	4.2	24.5	20.0	1,000	有
		21	III	L ₁	無	—	—	—	4	W	4.4	W	6.0	16.3	11.5	1,900	無
	5	22	III	H ₂	無	10~12	10	11	4	N	3.5	NW	3.3	13.8	8.3	1,200	有
		23	III	H ₃	無	—	—	—	2	E	3.2	SW	2.7	15.6	12.9	1,200	有
		26	I	H ₄	有	9~18	10	14	4	NW	2.9	WNW	1.4	—	—	—	—
	8	27	N	T	無	—	—	—	4	SW	3.5	NW	3.8	—	—	—	無
	28	I	T (南海上)	有	9~15	10	14	10	SW	1.0	NNW	1.0	24.7	20.6	2,000以上	有	
		29	III	T	無	—	—	—	2	SE	4.6	SE	6.8	27.7	23.7	1,800	有

表 7 地域別 NO 日平均値

NO_x (ppb)
NMHC (ppmc)

地域記号			A	B	C	D	E	F	G	H	I	E1のNO _x 7~9 hr のAVE	E1のNMHC 7~9 hr のAVE
年	月	日											
58	5	23	7	3	5	2	20	4	1			29	0.58
		24	3	3	5	3	18	2	1			19	0.43
		25	4	2	7	1	22	3	1			22	0.40
		26	4	1	4	1	30	2	1			7	0.24
	8	29	6	3	6	1	26	3	2			46	0.68
		30	5	3	4	2	20	0	2			6	0.37
		31	4	3	4	3	28	4	2			5	—
	9	1	5	3	6	5	42	4	2			21	0.47
59	5	21	5		11		19	7	5	3	2	18	0.29
		22	6		14		25	9	5	3	1	17	0.34
		23	4		14		25	8	5	2	1	13	0.34
		24	8		15		34	14	6	3	1	28	0.42
	8	28	7		14		33		5	2	3	14	0.78
		29	8		6		34		3	2	3	25	1.15
		30	3		4		18		3	2	2	7	—
	60	21	1		2	2	14	1		1	0	7	0.26
		22	3		3	2	18	1		1	1	2	0.19
		23	2		7	3	21	3		2	1	20	0.34
		26	3		5	4	24			2	1	14	0.38
58	8	27	3		7	4	33			2	1	25	0.41
		28	3		4	4	32			1	2	17	0.51
		29	3		4	3	33			2	2	26	0.57

表 8 地域別 NO₂ 日平均値NO₂ (ppb)
NMHC (ppmc)

地域記号			A	B	C	D	E	F	G	H	I	E1のNO ₂ 7~9 hr のAVE	E1のNMHC 3 hr のAVE
年	月	日											
58	5	23	12	8	16	14	27	20	9			36	0.30
		24	9	7	14	12	32	17	7			29	0.33
		25	7	7	8	7	26	15	5			28	0.33
		26	5	5	13	3	23	9	5			9	0.23
	8	29	7	3	8	0	14	8	12			14	0.43
		30	10	5	13	0	22	13	8			15	0.33
		31	11	9	12	0	29	18	5			15	0.40
	9	1	10	4	12	2	24	18	6			24	0.27
59	5	21	15		16		29	21	10	6	4	24	0.37
		22	21		23		38	35	17	8	4	28	0.28
		23	15		26		36	33	14	6	4	29	0.38
		24	22		28		42	40	17	10	4	39	0.39
	8	28	10		16		20		11	3	3	11	0.99
		29	14		16		30		9	3	3	23	1.02
		30	13		10		26		8	3	3	16	1.30
	60	21	6		9	7	19	2		3	2	10	0.18
		22	8		12	5	23	3		5	2	7	0.14
		23	7		22	7	36	8		10	3	23	0.23
		26	14		18	8	21			5	3	23	0.33
58	8	27	9		15	10	21			4	3	15	0.43
		28	11		17	9	29			4	5	19	0.38
		29	6		11	5	20			3	3	29	0.38

表9 地域別Ox最高値

Ox(ppb)

地域記号			A	B	C	D	E	F	G	H	I	中讃臨海部 (5局)	中讃内陸部 (2局)
年	月	日											
58	5	23	92	94	88	64	47	95	70			67	67
		24	113	109	86	73	59	79	90			103	89
		25	75	61	68	54	53	57	67			83	76
		26	80	61	62	—	59	57	60			64	72
	8	29	34	31	30	19	14	33	17			47	32
		30	65	55	55	41	22	60	27			69	56
		31	104	73	75	45	52	58	37			72	60
	9	1	55	48	47	29	34	42	27			44	34
59	5	21	73		73		39	65	70	82	70	67	60
		22	81		65		40	62	70	95	83	79	73
		23	93		63		44	70	74	98	85	79	77
		24	79		59		36	63	62	93	84	74	63
	8	28	35		51		24	55	35	50	33	50	42
		29	63		80		34	90	59	87	43	83	69
		30	40		53		36	59	48	77	44	60	56
	60	21	61		58	48	39	35		63	68	43	71
		22	65		53	63	42	33		75	70	66	64
		23	78		67	63	45	35		70	70	70	74
		26	90		84	108	81	115		74	103	75	58
	8	27	41		44	60	35	48		48	53	50	43
		28	75		82	110	54	103		69	80	88	68
		29	73		59	113	35	55		50	65	60	63

表10 地域別Ox最高値の平均値

Ox(ppb)

地域記号			A	B	C	D	E	F	G	H	I	中讃臨海部 (5局)	中讃内陸部 (2局)
年	月	日											
58	5	23	74	94	77	64	38	95	70			60	67
		24	95	109	76	73	45	79	90			88	88
		25	64	61	60	54	46	57	67			67	73
		26	66	61	58	—	47	57	60			55	66
	8	29	25	31	20	19	14	33	17			32	32
		30	43	55	41	41	21	60	27			55	40
		31	66	73	54	45	36	58	37			59	56
	9	1	41	48	35	29	23	42	27			34	34
59	5	21	73		57		35	65	69	75	70	60	59
		22	81		55		34	62	68	85	83	66	66
		23	93		57		37	70	70	87	85	62	76
		24	79		48		30	63	61	82	84	62	63
	8	28	35		37		18	55	34	41	33	37	40
		29	63		61		28	90	57	75	43	61	65
		30	40		41		26	59	45	61	44	49	52
	60	21	60		48	39	31	35		63	68	37	66
		22	65		48	48	35	33		75	70	49	64
		23	75		54	49	36	35		70	70	52	72
		26	90		76	101	51	115		74	103	52	42
	8	27	37		40	40	23	48		48	53	34	33
		28	75		64	107	48	103		69	80	61	58
		29	65		53	53	38	55		50	65	46	45